Eletrotécnica

Módulo III Parte II - Máquina de Indução





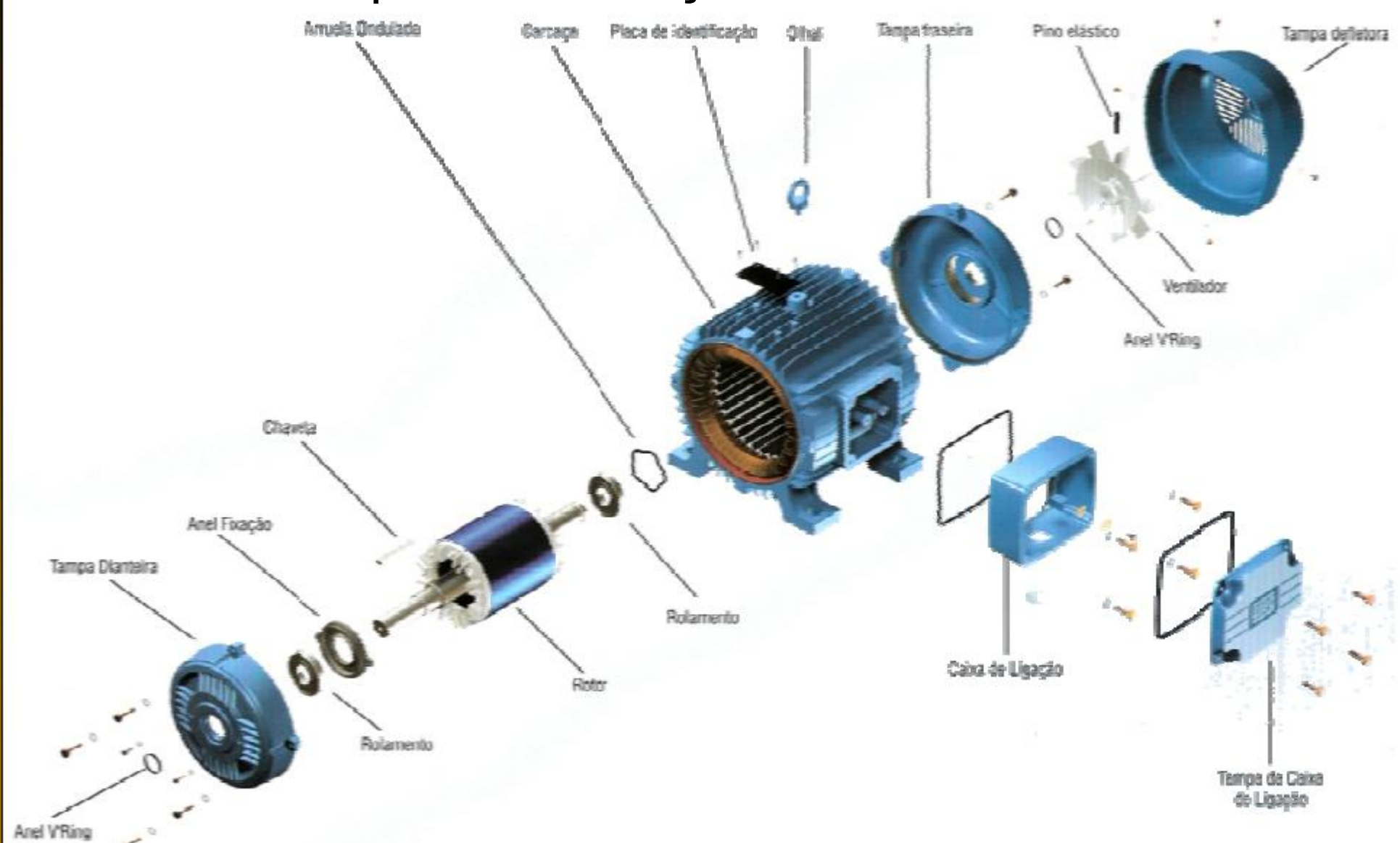
Máquina de Indução ou Máquina Assíncrona

- Tipo de máquina elétrica rotativa mais utilizado
- Tipo de máquina com construção mais robusta (rotor em gaiola squirrel cage)
- Operação com correntes alternadas no estator e no rotor
- Pode operar como motor ou gerador
- Porque máquina de indução?
 Correntes de rotor são, normalmente, induzidas pelo campo do estator

Máquina de Indução ou Máquina Assíncrona

- Porque máquina assíncrona?
 Porque a frequência mecânica é diferente da frequência elétrica de entrada
- Tipos principais:
 - Máquina trifásica com rotor em gaiola
 - Máquina trifásica com rotor bobinado
 - Máquina monofásica com rotor em gaiola (pequenos motores eletrodomésticos)
 - Máquina de indução linear (usada em sistemas de transporte)

Máquina de Indução – Rotor em Gaiola



Máquina de Indução – Rotor em Gaiola

Estator:

(1) Carcaça: encapsulamento e suporte do conjunto; de construção robusta em ferro fundido, aço ou alumínio injetado, resistente à corrosão e com aletas.

(2) Núcleo de chapas de aço magnético

Rotor:

(3) Núcleo de aço magnético

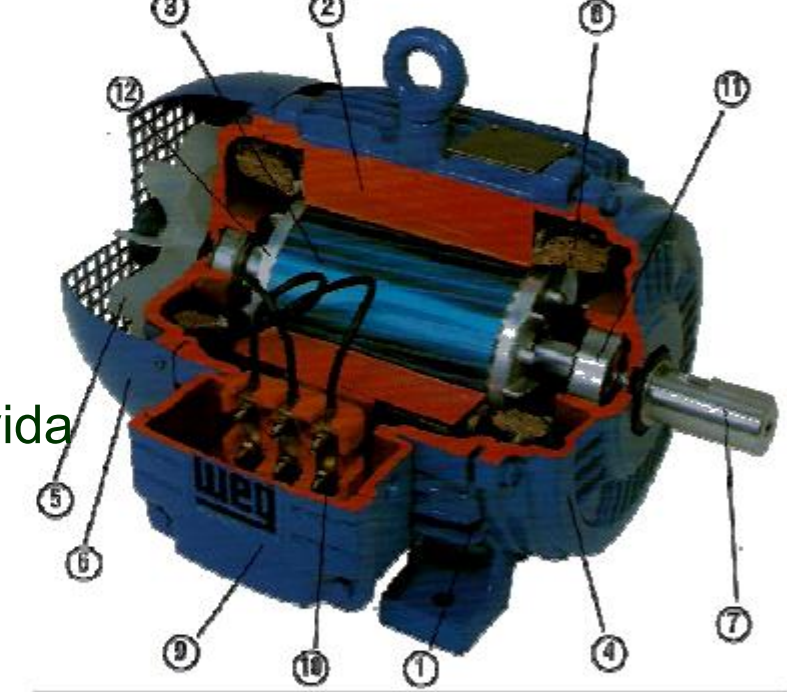
(7) Eixo: transmite a potência mecânica desenvolvida/

(12) Barras e anéis de curto-circuito

Outras partes:

- (4) tampa; (5) ventilador; (6) tampa defletora;
- (9) caixa de ligação; (10) terminais ou bornes;

(11) rolamento



Máquina de Indução - Rotor Bobinado (Wound Rotor)



Características:

- (1) Construção mais complexa
- (2) Necessidade de anéis coletores e conjunto de escovas
- (3) Permite controle de conjugado/velocidade através de resistores externos
- (4) Ainda bastante utilizado em aplicações que requerem velocidade variável
- (5) Estão sendo gradativamente substituídos pelos acionamentos com inversores de freqüência

Enrolamento Sonoidalmente Distribuído

Porque os enrolamentos são distribuídos senoidalmente?

- Para se produzir uma força magnetomotriz resultante com amplitude constante ao longo do entreferro
- Para se reduzir a existência de conjugados pulsantes

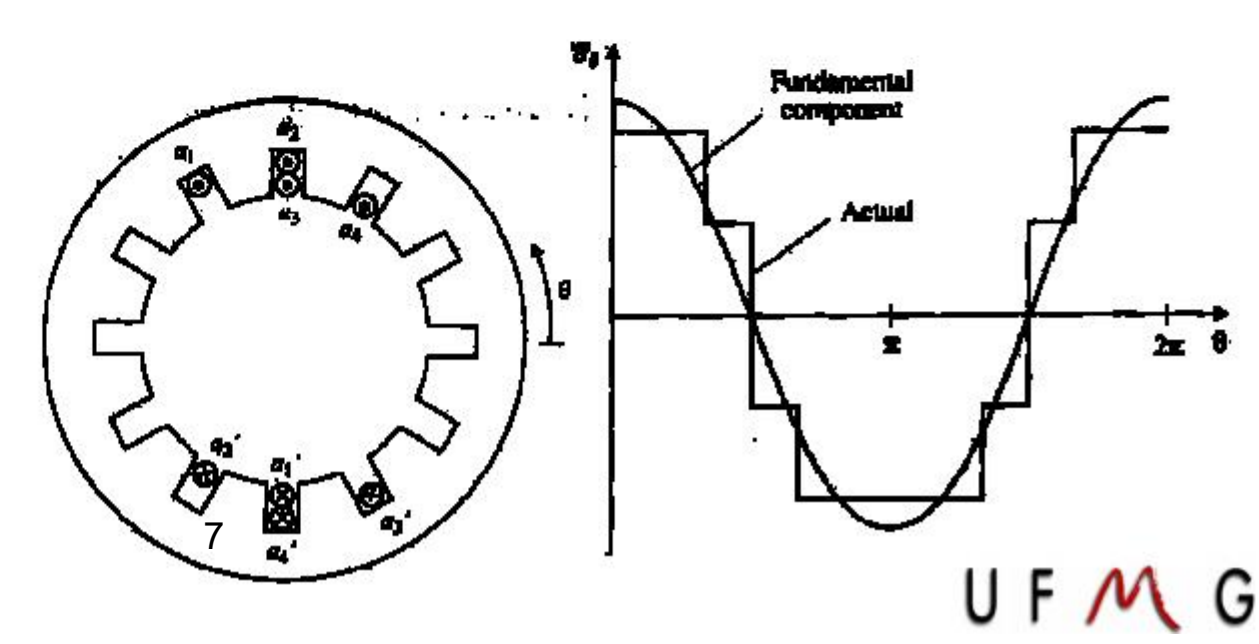
Se "caminharmos" ao longo do entreferro da máquina na direção de θ crescente, "veremos" uma força magnetomotriz com forma de onda cossenoidal, conforme mostrado:

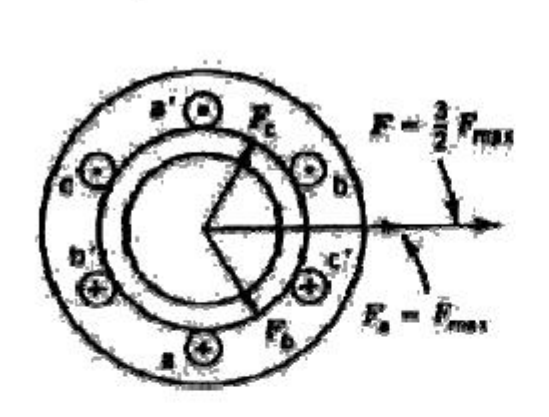
$$N_{s}$$

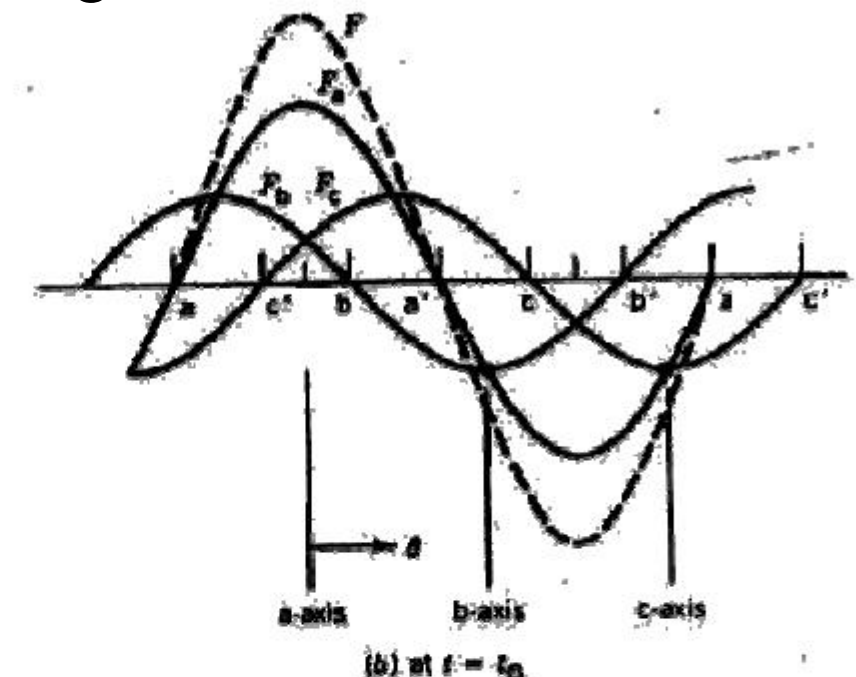
$$\frac{2}{\theta + \pi}$$

$$\mathcal{Y}_{\theta} = \int_{\theta}^{a} \int_{\theta}^{a} d\theta d\theta = N_{i}$$

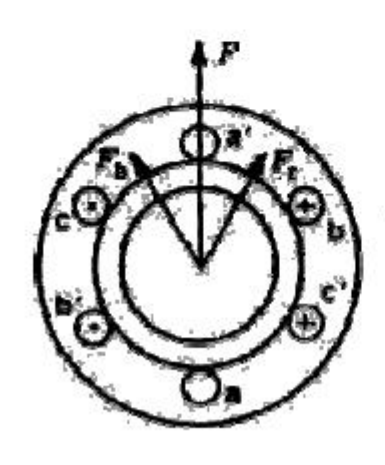
Para uma máquina com 12 slots, tem-se:

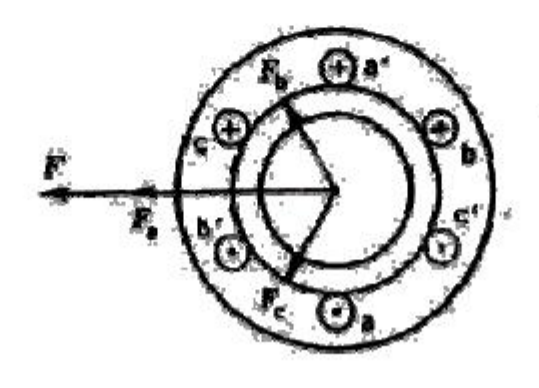


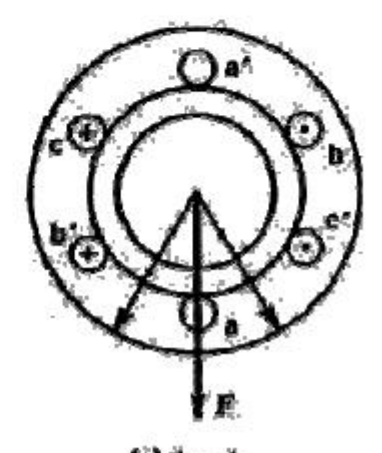


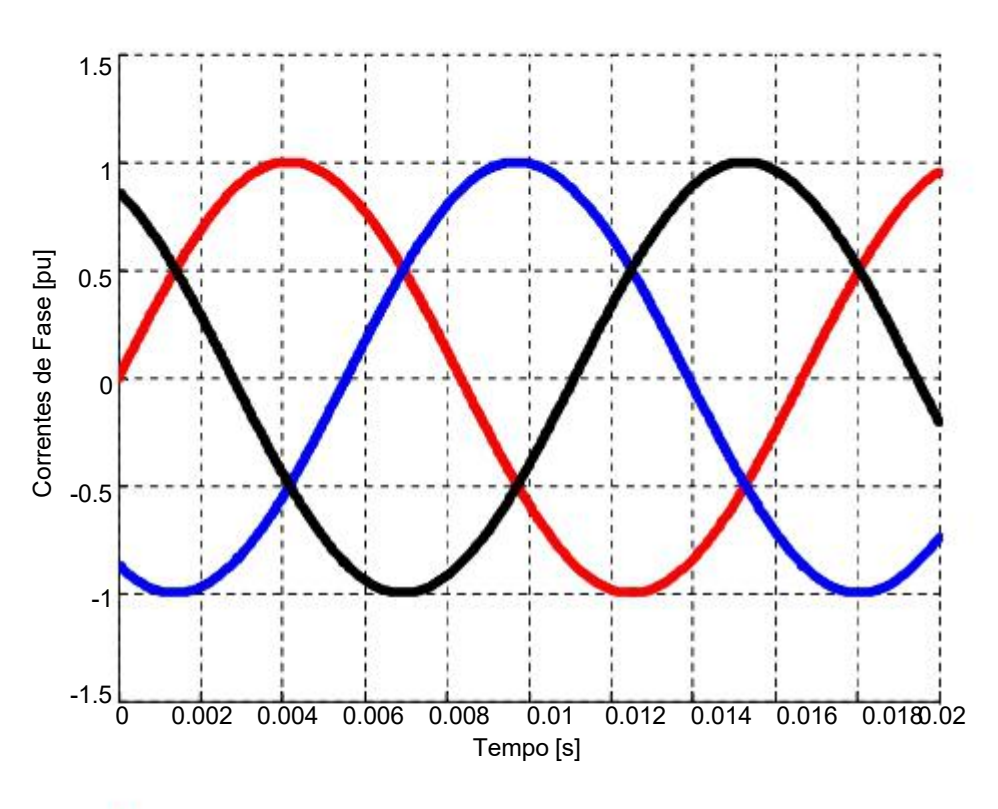


(a)
$$t = t_0 = t_4$$

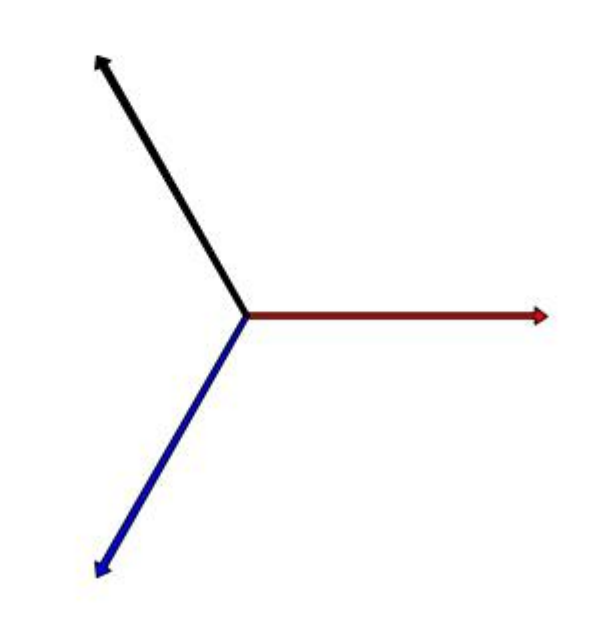


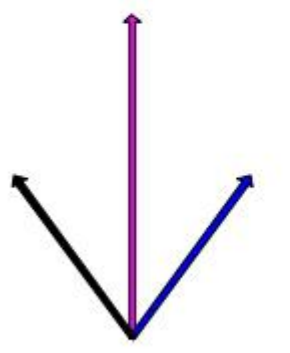




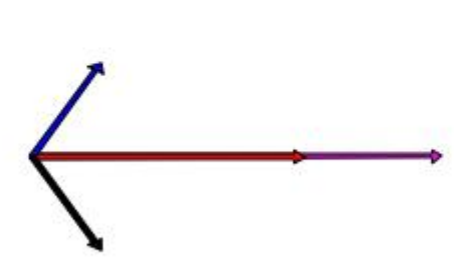


Eixos Magnéticos das Fases













UF M G

Considere uma máquina de 2 pólos e com enrolamentos trifásicos no estator, deslocados 120 o entre si.

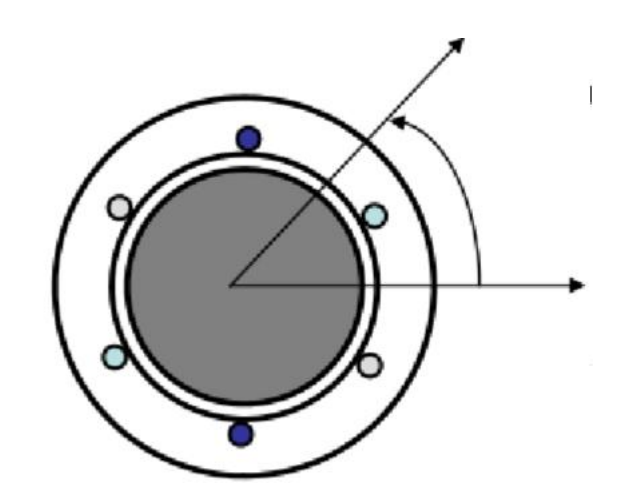
Pode-se obter uma expressão para a força magnetomotriz em função do tempo, levando-se em consideração a contribuição de cada uma das fases, ou seja:

$$F(\theta) = F_a(\theta) + F_b(\theta) + F_c(\theta)$$

$$F_a(\theta) = Ni_a \cos(\theta)$$

$$F_b(\theta) = Ni_b \cos(\theta - 120)$$

$$F_c(\theta) = Ni_c \cos(\theta + 120)$$



As correntes i a , i b e i c são grandezas senoidais variáveis no tempo e podem

ser expressas por:

$$i_a(t) = I_m \cos(\omega t)$$

$$ib(t) = Im \cos(\omega t - 120)$$

$$i_c(t) = I_m \cos(\omega t + 120)$$

Desta forma, a força magnetomotriz no entreferro pode ser escrita como:

$$F(t, \theta) = NI_m \left[\cos \omega t \cos \theta + \cos \left(\omega t - 120 \right) \cos \left(\theta - 120_o \right) \right]$$

Usando a identidade trigonométrica $\cos A.\cos B = \frac{1}{2}\cos(A-B) + \frac{1}{2}\cos(A+b)$, tem-se:

 $\frac{3}{2}$

Esta equação representa uma fmm distribuída senoidalmente no entreferro.

Em um instante posterior, t_2 , o pico está no ângulo $\theta_2 = \omega \, t_2$, ou seja,

a onda de fmm se move no entreferro com uma frequência igual a ω .

Para uma máquina com um número de pólos p, a velocidade em rpm é dada por: $n = \frac{2}{p} f 60$

Tensão Induzida

Considerando distribuição co-senoidal para a densidade de fluxo

magnético no entreferro, expressa por B(θ) = B $_{\text{máx}}$ cos θ , podem-se obter, para as tensões induzidas em cada um dos enrolamentos, as seguintes

expressões:
$$e_a(t) = \omega N \varphi_p \sin \omega t$$

 $e_b(t) = \omega N \varphi_p \sin (\omega t - 120)$ $e_c(t) = \omega N \varphi_p \sin (\omega t + 120)$

Usando a identidade trigonométrica $\cos A.\cos B = \frac{1}{2}\cos(A-B) + \frac{1}{2}\cos(A+b)$, tem-se:

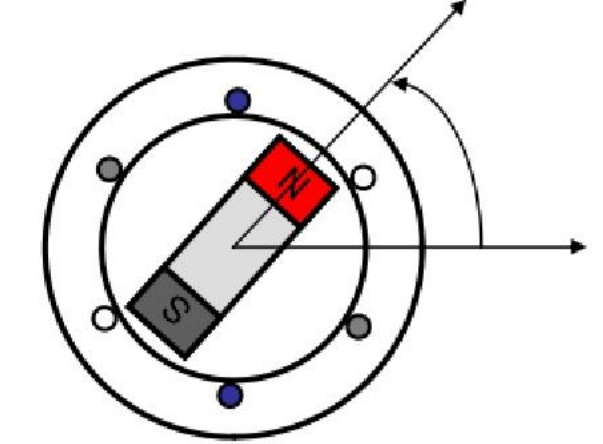
3

)

Esta equação representa uma fmm distribuída senoidalmente no entreferro.

Em um instante posterior, t_2 , o pico está no ângulo $\theta_2 = \omega t_2$, ou seja, a onda de fmm se move no entreferro com uma freqüência igual a ω .

Para uma máquina com um número de pólos p, a velocidade em rpm é dada por: $n = \frac{2}{p}$ f 60



Tensão Induzida

b

Considerando distribuição co-senoidal para a densidade de fluxo magnético no entreferro, expressa por B(θ) = B $_{\text{máx}}$ cos θ , podem-se obter, para as tensões induzidas em cada um dos enrolamentos, as seguintes

expressões: $e_a(t) = \omega N \varphi_p \sin \omega t$

$$e_b(t) = \omega N \varphi_p \sin(\omega t - 120)$$

$$e_c(t) = \omega N \varphi_p \sin(\omega t + 120)$$

Máquina de Indução – Enrolamentos de Rotor Abertos

O campo magnético girante criado pelas correntes de estator induz tensões nos enrolamentos de estator e de rotor, cujas magnitudes são:

O fator de enrolamento (K $_{w}$) se deve à distribuição do $E_{s}=4$, 44 ϕ_{p} N_{s} f_{s} K enrolamento ao longo do entreferro para melhorar a forma $E_{r}=4$, 44 ϕ_{p} N_{r} f_{r} K de onda de fluxo e aproveitar melhor o aço e o cobre 0,85 < K $_{w}$ < 0,95.

$$\frac{E_s}{E_r} = \frac{N_s K_{ws}}{N_r K_{wr}} \qquad K_{ws} \cong K_{wr} \qquad \Rightarrow \qquad \frac{E_s}{E_r} = \frac{N_s}{N_r}$$

Máquina de Indução Enrolamentos de Rotor Curto-Circuitados

As tensões induzidas no rotor fazem circular correntes que interagem com o fluxo de entreferro, levando à produção de conjugado (torque). O rotor irá girar a uma freqüência (n) diferente da freqüência das correntes de estator (n $_{\rm S}$).

Se n = n s , não há correntes induzidas no rotor e não há conjugado.

UF M G

Máquina de Indução Enrolamentos de Rotor Curto-Circuitados

A diferença entre a velocidade do rotor (n) e a velocidade síncrona (n s) é chamada de escorregamento (s), usualmente expresso em relação à ns:

$$S = \frac{n_s - n}{n_s}$$

A frequência das tensões e correntes induzidas no rotor (f_r) será: $f_r = sf_s$

A tensão induzida no rotor na freqüência do escorregamento será:

$$E_{rs} = 4$$
, $44 \varphi_p N_r f_r K_{wr} = 4$, $44 \varphi_p N_r s f_s K_{wr} = s E_r$

E_{rs} – tensão induzida com enrolamento de rotor curto-circuitado

E_r – tensão induzida com enrolamento de rotor aberto

As correntes de rotor também produzem um campo magnético girante. A frequência deste campo, com relação ao rotor, é: $n_r = sn_s$

Como o rotor gira à velocidade n , este campo gira no entreferro com freqüência:

$$n + sn_s = (1 - s)n_s + sn_s = n_s$$

 $n + sn_s = (1 - s) n_s + sn_s = n_s$ Os campos girantes de estator e de rotor são estacionários entre si!

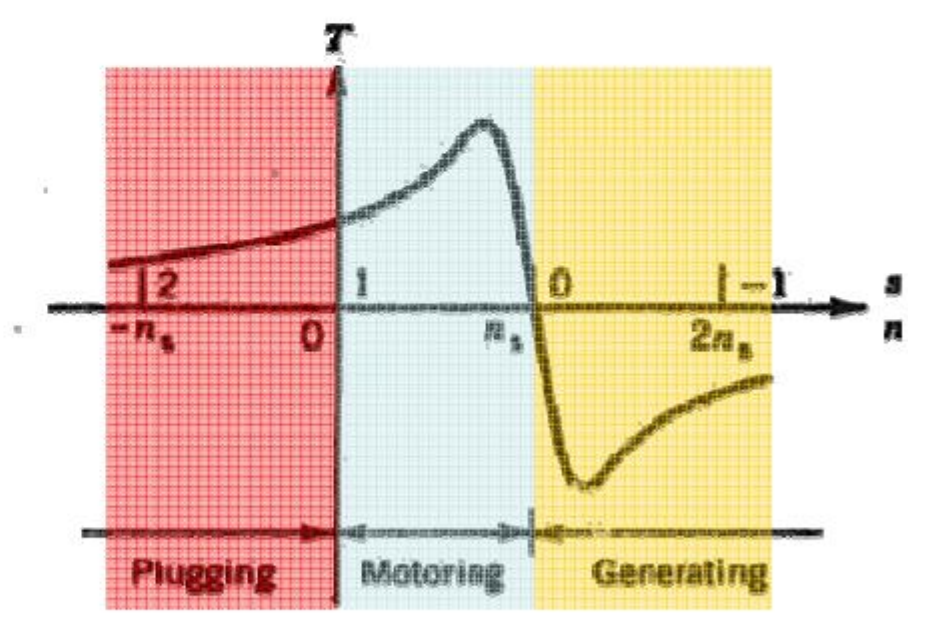
Modos de Operação da Máquina de Indução (Corrente Alternada)

Motor

- O rotor gira no mesmo sentido do campo girante de estator, mas com velocidade menor que a velocidade síncrona
- Operação "convencional" da máquina de indução

Gerador

- O rotor gira no mesmo sentido do campo girante de estator, mas com velocidade maior que a velocidade síncrona
- Gerador de indução, frenagem regenerativa
 Frenagem Dinâmica
- O rotor gira no sentido oposto ao campo girante de estator (fases invertidas)
- Frenagem por contra corrente



Circuito Equivalente – Regime Permanente Senoidal

Conforme visto anteriormente, as tensões induzidas nos circuitos de estator e de rotor da máquina de indução podem ser dadas por:

 $E_s = 4 \;, 44 \; \boldsymbol{\varphi_p} \; N_s \; f_s \; K_{\text{\encolarge}}^{\text{O fator de enrolamento (K_w)}} \; \text{se deve à distribuição do} \\ E_r = 4 \;, 44 \; \boldsymbol{\varphi_p} \; N_r \; f_r \; K_{wr}^{\text{\encolarge}} \; \text{de onda de fluxo e aproveitar melhor o aço e o cobre} \\ 0,85 < K_w < 0,95.$

$$\frac{E_s}{E_r} = \frac{N_s K_{ws}}{N_r K_{wr}} \qquad K_{ws} \cong K_{wr} \qquad \Rightarrow \qquad \frac{E_s}{E_r} = \frac{N_s}{N_r}$$

Do ponto de vista de tensões induzidas, a máquina de indução se comporta como um transformador.

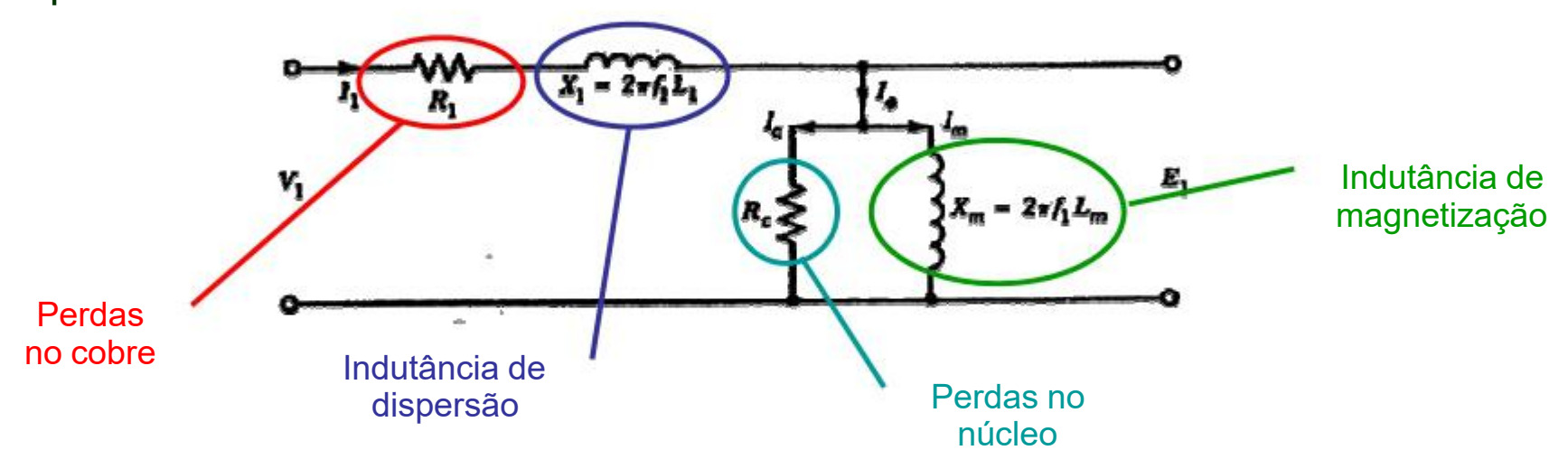
É de se imaginar que o circuito equivalente para a máquina de indução será semelhante ao de um transformador, levando-se em conta a produção de conjugado e a freqüência de escorregamento.

Circuito Equivalente – Regime Permanente Senoidal

Todos os parâmetos são expressos por fase

Para máquinas com enrolamentos em Δ , os parâmetros se referem ao Y equivalente

O circuito trifásico de estator se comporta como o primário de um transformador, sendo o circuito equivalente mostrado abaixo:



Qual a diferença deste circuito comparado com o circuito de um transformador?

- Ordem de grandeza dos parâmetros



Devido à presença do entreferro:

- As correntes de magnetização de motores são maiores que de transformadores Transformadores: I m varia de 2 a 5% da corrente nominal Motores: I m varia de 25 a 40% da corrente nominal
- A indutância de dispersão é maior nos motores

Circuito Equivalente do Rotor

Considerando o rotor como um circuito trifásico equivalente com os terminais em curtocircuito:

$$I_2 = \frac{sE_2}{R_2 + jsX_2}$$
 (1)

E₂ – tensão induzida no rotor (em repouso)

I₂ – corrente de rotor

R₂ – resistência do circuito do rotor

X₂ – reatância do rotor na freqüência do estator

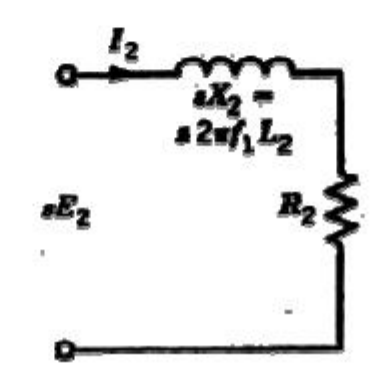
A potência de perdas por fase no circuito de rotor será: $P_2 = R_2 I_{22}$

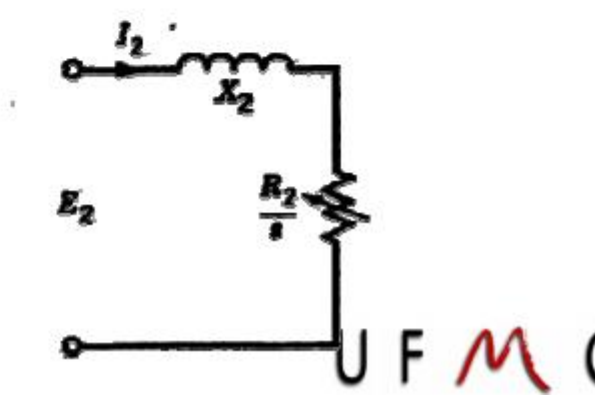
A equação para a corrente do rotor pode ser escrita como:

$$I_2 = \frac{E_2}{R_2/s + jX_2}$$
 (2)

Comparando (1) e (2):

- Em ambas as equações, I 2 é a corrente de rotor
- A fase e a amplitude são as mesmas (a grandeza fasorial é a mesma)
- Em (1), I 2 está na freqüência de rotor
- Em (2), I 1 está na freqüência de estator





Circuito Elétrico Equivalente

A potência por fase do circuito de rotor é, agora: $P_2 = \frac{R_2}{s}$

Esta é a potência no rotor, vista a partir do estator, ou seja, está incluída a potência mecânica no eixo da máquina!

Podemos separar a potência de perdas da potência mecânica, escrevendo a equação da

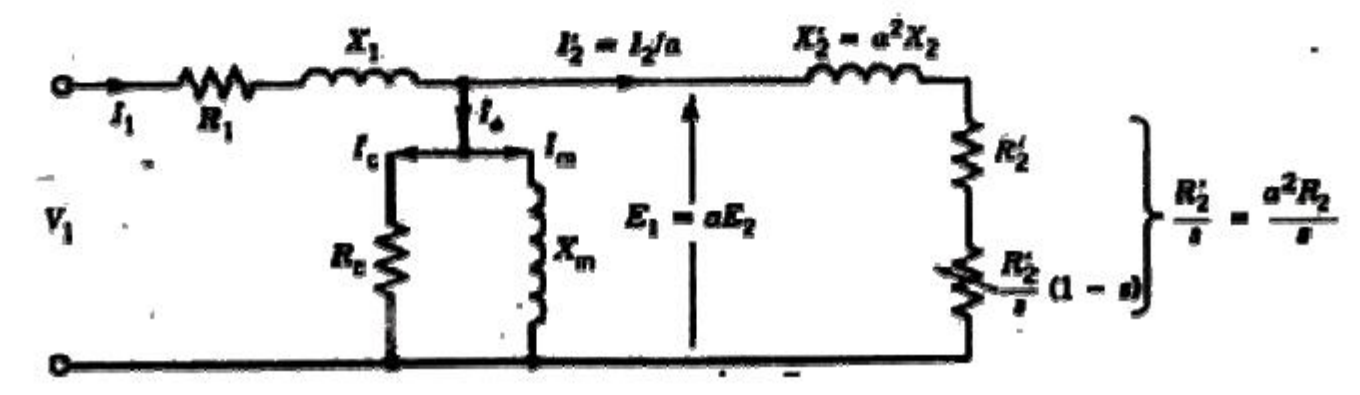
seguinte forma:

Resistência real do rotor

$$P_{2} = \frac{R_{2}}{S} \frac{2}{I_{2}} = I_{2}^{2} \left(R_{2} + \frac{R_{2}}{S}\right) (1 - S)$$

Resistência equivalente da carga mecânica

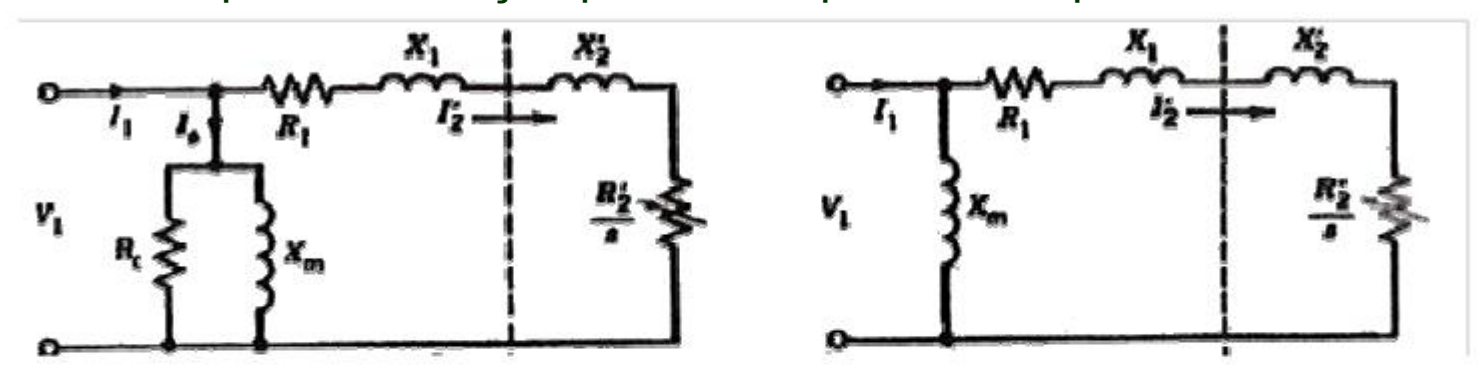
Se considerarmos a relação de transformação (analogamente ao caso dos transformadores), podemos conectar os circuitos de rotor e de estator com as grandezas de rotor referidas ao estator.



UFMO

Circuito Equivalente Aproximado

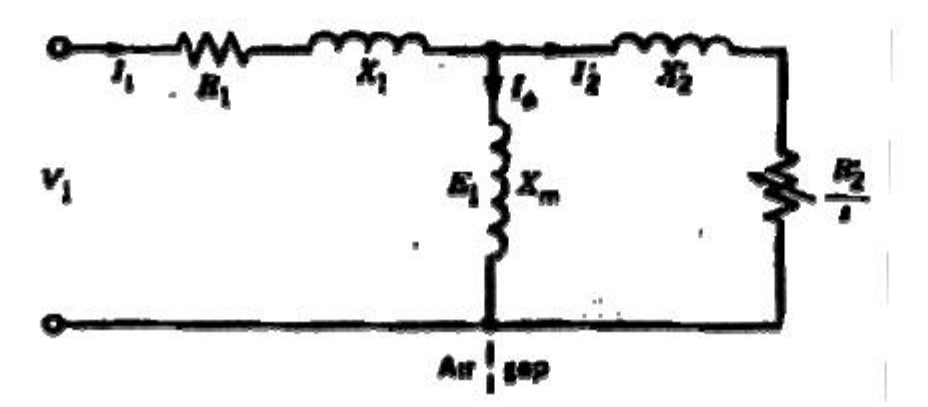
Em várias situações (por exemplo, cálculo de desempenho), o circuito elétrico equivalente da máquina de indução pode ser representado por:



Simplificações:

- Queda de tensão em R₁ e X₁ é muito pequena → E₁≈ V₁
- Perdas no núcleo são muito pequenas

Circuito elétrico equivalente aproximado recomendado pelo IEEE:



Obtenção dos Parâmetros para o Circuito Equivalente

Ensaio a vazio → parâmetros do circuito de estator e de magnetização Ensaio a rotor bloqueado → parâmetros do circuito de rotor (referido ao estator)

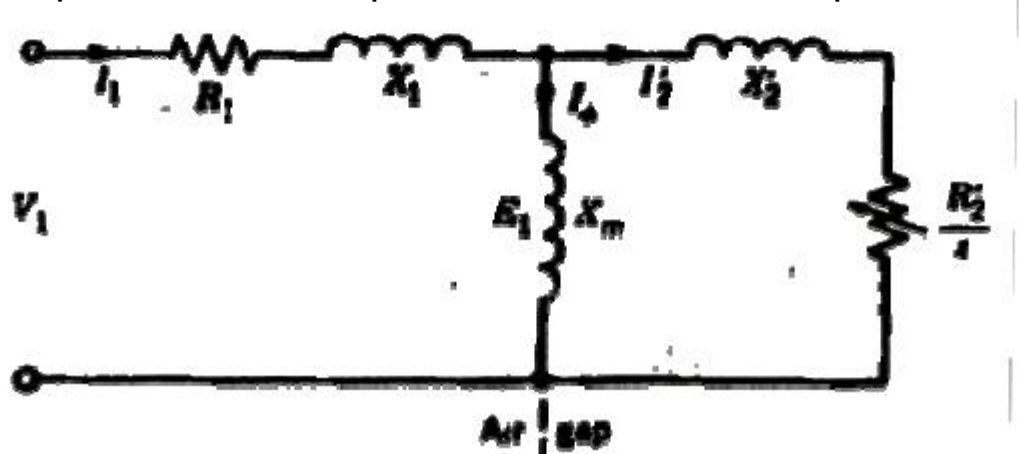
Obs: idealmente, no ensaio a rotor bloqueado, a freqüência da alimentação deve ser próxima da freqüência de escorregamento para carga nominal!

Exemplo:

Considere os resultados dos ensaios de uma máquina de indução trifásica, 60hp, 2200V, 60Hz, 6 pólos:

Ensaio a vazio: 2200V, 60Hz, 4.5A, 1600W Rotor bloqueado: 15Hz, 270V, 25A, 9000W

Determine os parâmetros para o circuito equivalente recomendado pelo IEEE



Obtenção dos Parâmetros para o Circuito Equivalente Exemplo

No ensaio a vazio, considerando $X_m \ll (R_2/s + jX'_2) \rightarrow escorregamento muito baixo:$

$$R_{NL} = \frac{P_{NL}}{3 I_{NL}^2} = \frac{1600}{3 \times 4} \Big|_{5}^{2} = 26,34 \Omega \qquad Z_{NL} = \frac{V_{NL}}{\sqrt{3} I_{NL}} = \frac{2200 V}{\sqrt{3} \times 4,5} = 282,27 \Omega$$

$$X_{NL} = X_1 + X_m = \sqrt{\frac{^2Z_{NL} - ^2R_{NL}}{^2Z_{NL} - ^2R_{NL}}} = 281,00$$

No ensaio a rotor bloqueado, considerando X m >> (R ₂ /s + jX' ₂) → escorregamento unitário

$$R_{BR} = \frac{P_{BR}}{3 I_{BR}^2} = \frac{9000}{3 \times 25} = 4,8 \Omega$$
 $R_{2}' = R_{BR} - R_{1} = 4,8 - 2,8 = 2,0 \Omega$

$$Z_{BR} = \frac{V}{\sqrt{3}} \frac{270 \text{ V}}{I_{BR}} = \frac{270 \text{ V}}{\sqrt{3 \times 25}} = 6,24 \Omega^{X_{BR}} = X_1 + X_2 / \sqrt{2} Z_{BR} - \frac{2}{2} R_{BR} = 3,98 \Omega$$

$$X_{BR}\Big|_{60 \text{ Hz}} = X_{BR} \times \frac{60}{15} = 15,92 \Omega \qquad X_{2}' \approx X_{1} \times \frac{X_{BR}}{2} = 7,96 \Omega$$

Relações Típicas entre Reatâncias de Dispersão

Dependendo do tipo e classe do motor de indução, pode-se utilizar fatores diferentes para a relação entre a reatância de rotor bloqueado e as dispersões do estator e do rotor, conforme mostrado:

Motor

Squirrel-cage Class A
Squirrel-cage Class B
Squirrel-cage Class C
Squirrel-cage Class D
Wound rotor

Reactance Distribution

$$X_{l1} = 0.5X_{BR}$$
 $X_{l2}' = 0.5X_{BR}$
 $X_{l1} = 0.4X_{BR}$ $X_{l2}' = 0.6X_{BR}$
 $X_{l1} = 0.3X_{BR}$ $X_{l2}' = 0.7X_{BR}$
 $X_{l1} = 0.5X_{BR}$ $X_{l2}' = 0.5X_{BR}$
 $X_{l1} = 0.5X_{BR}$ $X_{l2}' = 0.5X_{BR}$

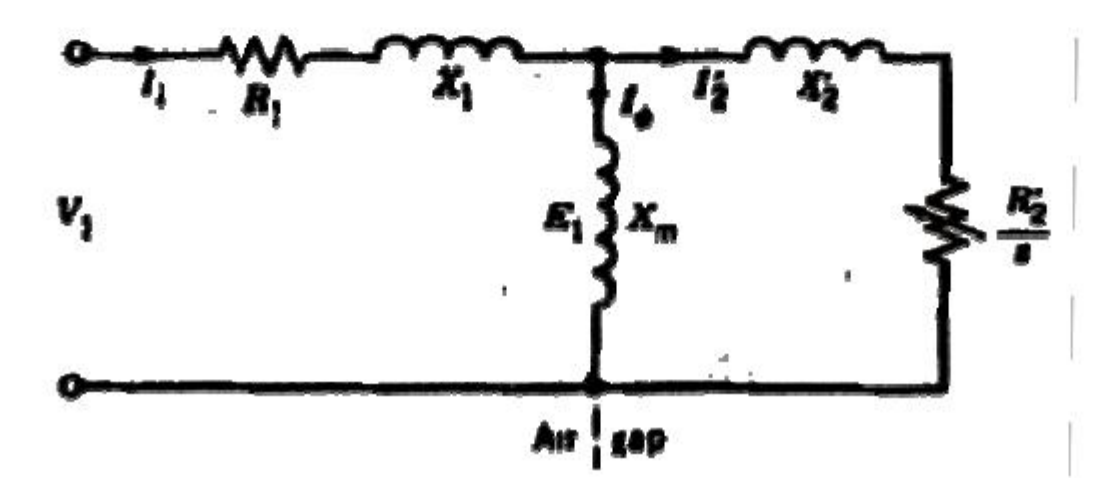
Máquina de Indução – Características de Performance

Quais são as características utilizadas para avaliação da performance de uma máquina de indução (em regime permamente)?

- Eficiência, fator de potência, corrente, conjugado de partida, conjugado máximo (pull-out torque), etc.

Como levantar estas características?

- Método difícil → desenvolver modelo para o circuito magnético, utilizar equações de Maxwell, etc.
- Método fácil → extrair informações do circuito elétrico equivalente.



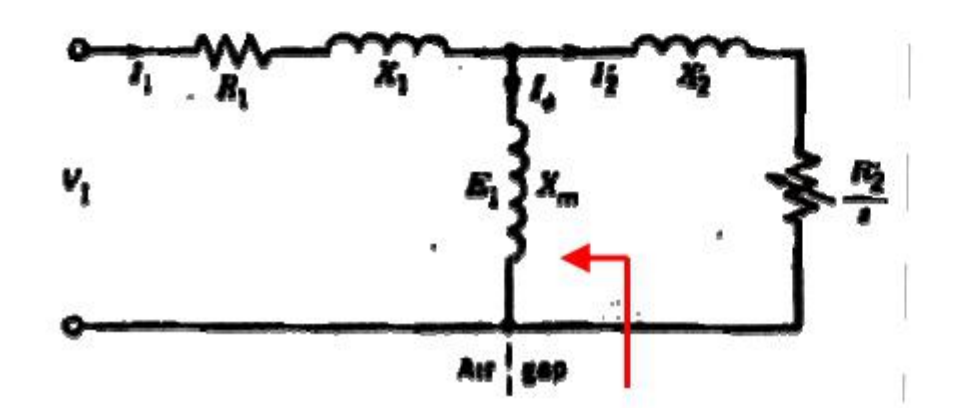
Conforme visto anteriormente, a potência mecânica por fase é dada por:

$$P_{\text{mec}} = T_{\text{mec}} \omega_{\overline{mec}} I_2^2 \frac{R_2}{s} (1 - s) \qquad \omega_{\text{mec}} = \frac{2 \pi n}{60} = (1 - s) \omega_s$$

$$T_{\text{mec}} = \frac{1}{\omega_{\text{s}}} \frac{V_{\text{th 2}}}{(R_{\text{th}} + R_{2}'/s)^{2} + (X_{\text{th}} + X_{2}')^{2}} C_{\text{onjugado por fase!}}^{\text{R2}'}$$

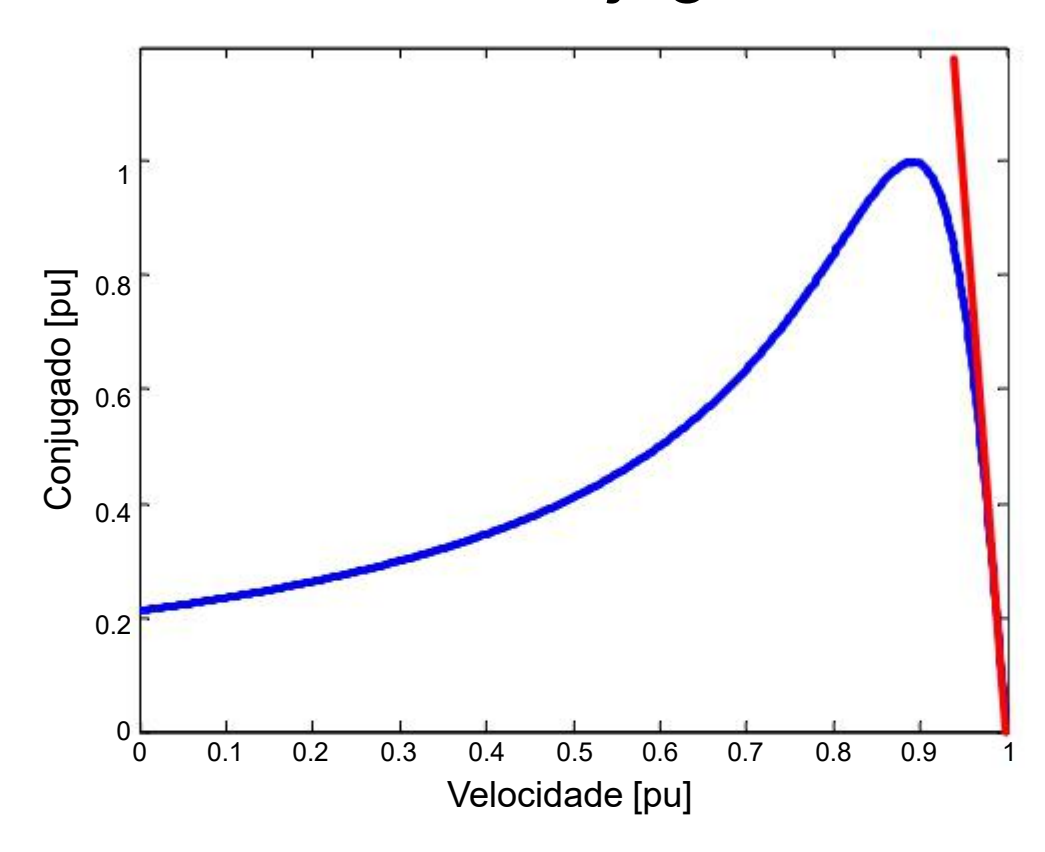
Quem são V th, R th e X th?

São os elementos equivalentes de Thèvenin para o estator da máquina de indução, visto pelo rotor.



$$Z_{th} = \frac{jX_{m}(R_{1} + jX_{1})}{R_{1} + j(X_{1} + X_{m})} = R_{th} + jX_{th}$$

$$V_{th} = \frac{X_m}{\sqrt{R_1^2 + (X_1 + X_m^2)}} V_1$$



Para baixos valores de escorregamento (s→0):

$$T_{\text{mec}} \approx \frac{1}{\omega_s} \frac{V_{\text{th } 2}}{R_2}$$

Para altos valores de escorregamento (s→1):

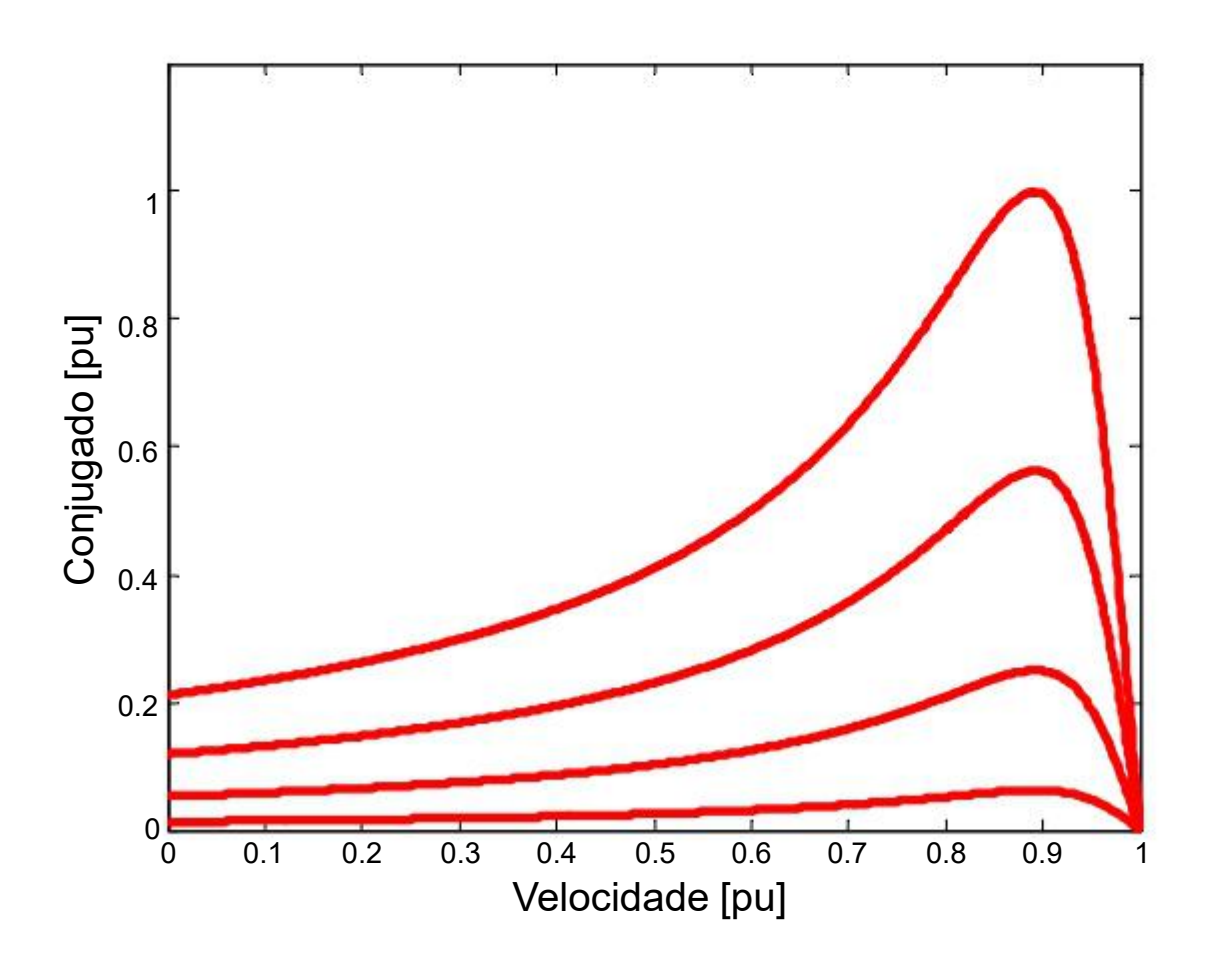
$$T_{\text{mec}} \approx \frac{1}{\omega_{s}} \frac{V_{\text{th 2}}}{(X_{\text{th}} + X_{2}')^{2}} R_{2}'$$

O conjugado varia com o quadrado da tensão



Possibilidade de controle de velocidade

Sensibilidade a distúrbios de alimentação





Qual é o ponto de conjugado máximo (pull-out torque)?

- Método I: $\frac{dT_{mec}}{ds} = 0$ - Método II \rightarrow teorema da máxima transferência de potência

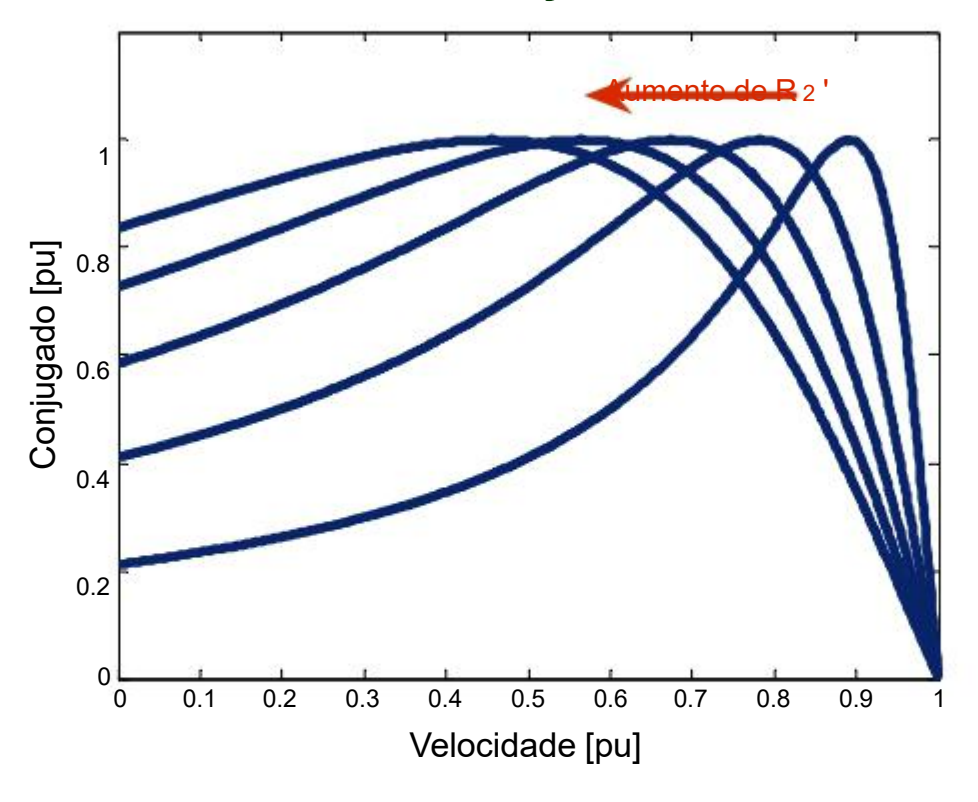
$$S \tau_{\text{máx}} = \frac{R2'}{\sqrt{R \text{th } 2 + (X \text{th} + X 2')}}$$

Qual é o conjugado máximo (pull-out torque)?

$$T_{\text{máx}} = \frac{1}{2 \omega_s} \frac{V_{\text{th 2}}}{R_{\text{th 2}} + (X_{\text{th}} + X_{2}')_2}$$

- O conjugado máximo não depende da resistência de rotor!!!
- O ponto de conjugado máximo depende da resistência de rotor!!!

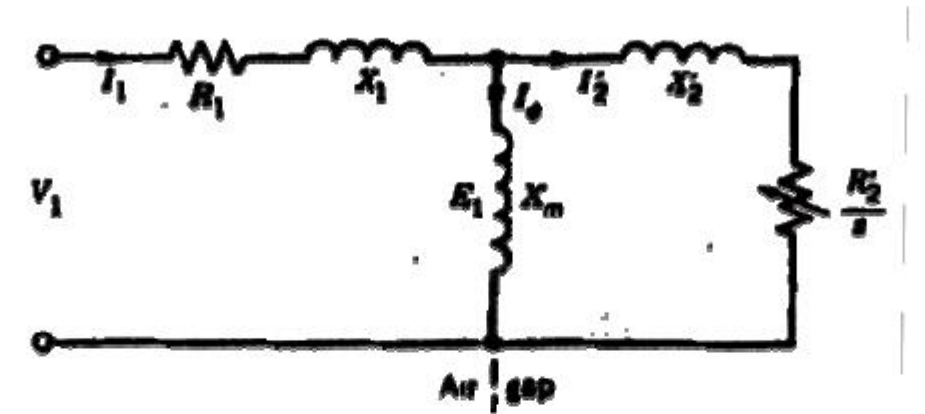
Conjugado X Velocidade em Função da Resistência de Rotor



Máquinas de rotor bobinado → possibilidade de controle de velocidade pela variação da resistência rotórica

Máquinas de rotor em gaiola → variação na construção da gaiola para diferentes características de conjugado x veloci

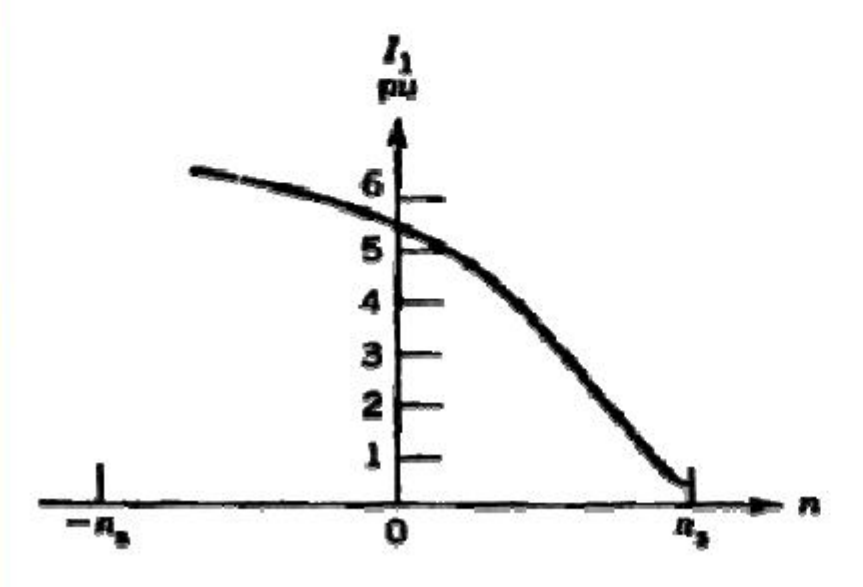
Corrente e Fator de Potência (Estator)



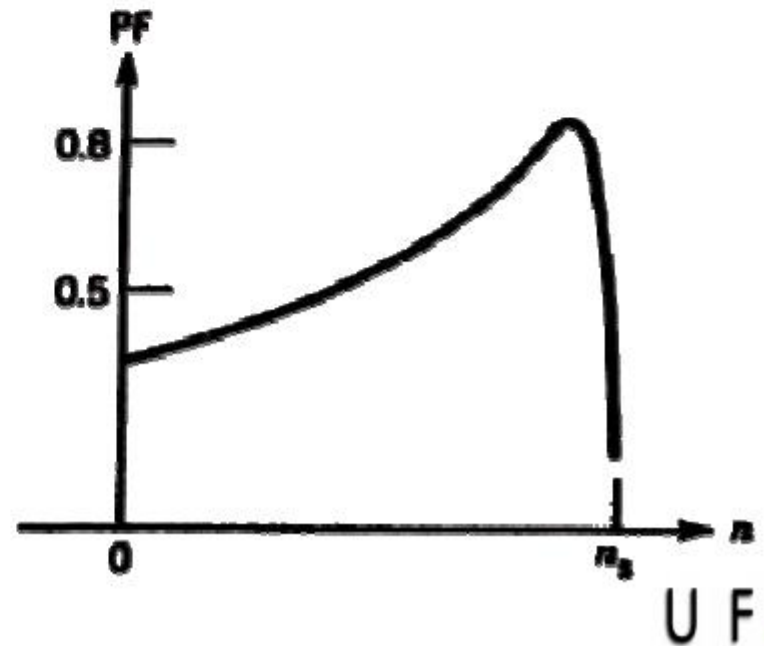
Corrente de Estator

Para s \rightarrow 0: I 1 \rightarrow I φ

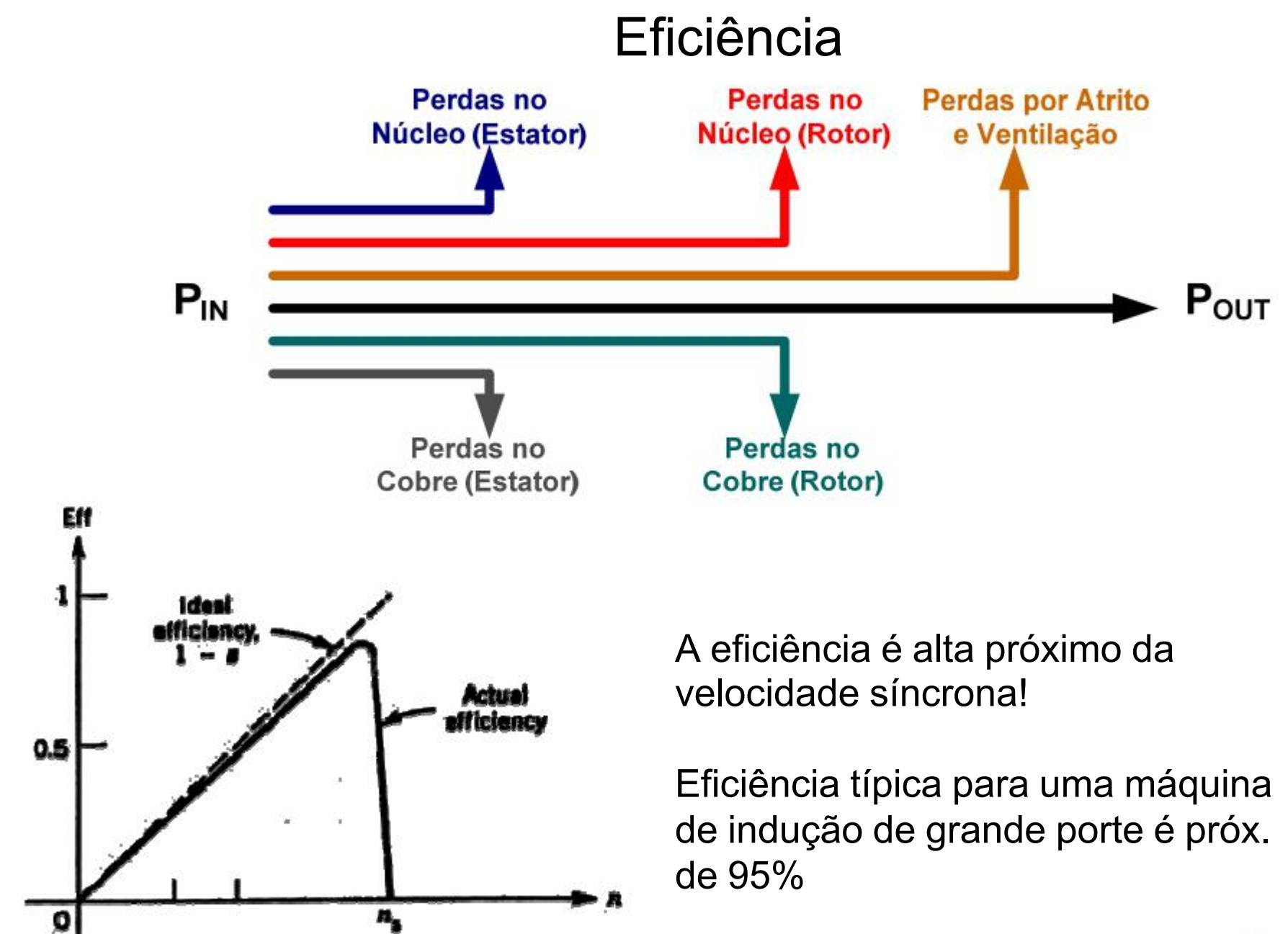
Para s \rightarrow 1: I₁ \rightarrow I₂'



Fator de Potência



UF M (



Variação da Resistência Rotórica - Máquina de Rotor em Gaiola

A variação da frequência de rotor em função da velocidade da máquina permite uma variação "automática" da resistência de rotor.

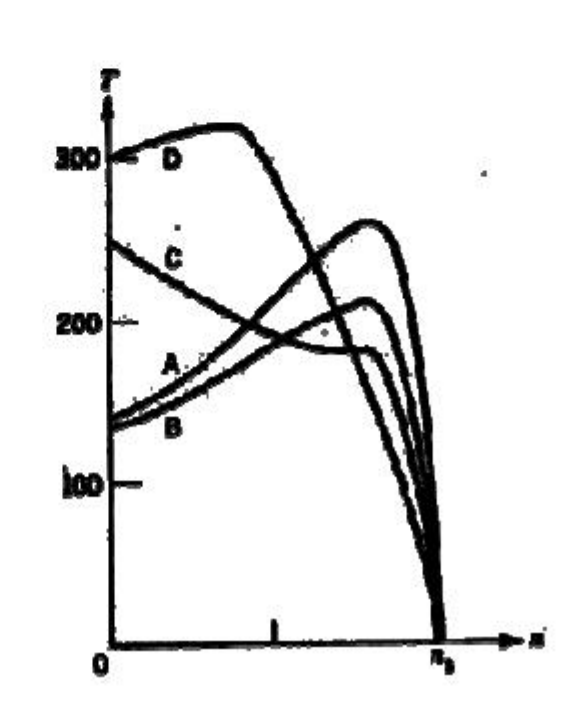
Normalmente se deseja:

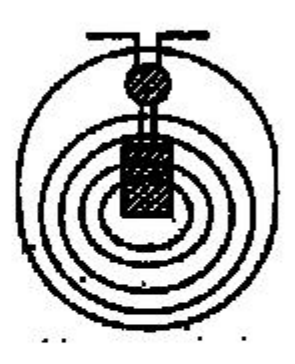
- Alto valor para R₂' na partida → alto conjugado e baixa corrente
- Baixo valor para R₂' em regime → alta eficiência

Construções típicas:

- Rotor com barras profundas
- Rotor com barras duplas

Classes de Projeto das Máquinas de Indução com Rotor em Gaiola





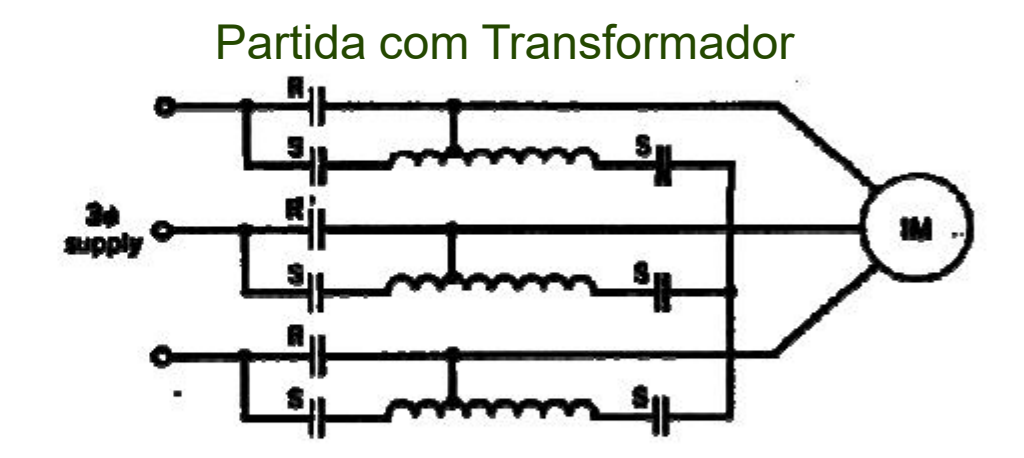
UF M G

Partida da Máquina de Indução

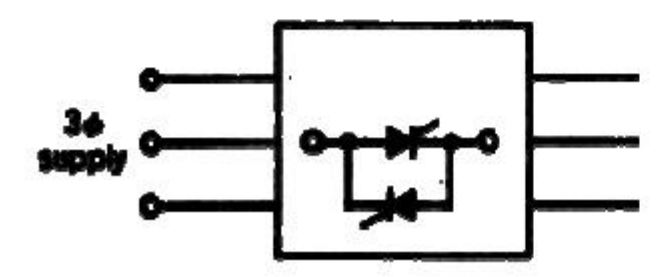
Máquina com rotor bobinado → normalmente parte com variação da resistência rotórica Máquina com rotor em gaiola → correntes 5 – 8 vezes a corrente nominal (partida direta)

Métodos de partida mais utilizados

- Partida direta
- Partida com transformador abaixador (partida com chave compensadora)
- Partida com chave estrela-triângulo
- Partida com "soft-starter"
- Partida série-paralelo
- Operação com inversor de frequências



Partida com Soft-starter



Partida Estrela-Triângulo

